

УДК 62-523.2:621.3.013

**АНАЛИЗ СТАЦИОНАРНОГО МАГНИТНОГО ПОЛЯ
УСТРОЙСТВА ОБНАРУЖЕНИЯ МЕТАЛЛИЧЕСКИХ ЧАСТИЦ**

С.В. ЛЮБИМЦЕВ

(Ивановская государственная текстильная академия)

При изготовлении полюсных наконечников устройств обнаружения металлочастиц с целью недопущения повреждения

текстильных полотен или валов отделочного оборудования снимается фаска под углом 45° . Это приводит к изменению па-

раметров магнитного поля по отношению к идеальной форме наконечников с углом между его гранями, равным 90° , при отсутствии фаски между гранями полюсов или их скругления [1].

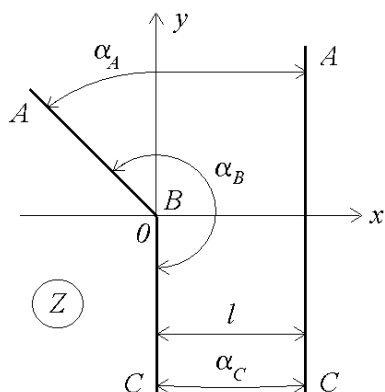


Рис. 1

Для использования интеграла Кристоффеля-Шварца при отображении поля сложной конфигурации Z в поле верхней полуплоскости R (рис. 2) имеем: $p_A = \infty$, $p_B = -1$, $p_C = 0$ и соответственно $\alpha_A = \pi/4$, $\alpha_B = 5\pi/4$, $\alpha_C = 0$.

Интеграл Кристоффеля-Шварца в таком случае примет вид:

$$Z = a \left(\begin{array}{l} 4\sqrt[4]{R+1} - \frac{1}{\sqrt{2}} \ln \frac{1 + \sqrt{R+1} + \sqrt{2}\sqrt[4]{R+1}}{1 + \sqrt{R+1} - \sqrt{2}\sqrt[4]{R+1}} \\ -\sqrt{2} \operatorname{arctg} \frac{\sqrt{2}\sqrt[4]{R+1}}{1 - \sqrt{R+1}} \end{array} \right) + b. \quad (2)$$

Точка B на плоскости Z имеет координату $Z_B = 0$, что соответствует координате $R_B = -1$ на верхней полуплоскости R . Исходя из этого соответствия получаем $b = 0$.

Значение постоянной интегрирования a определим при переходе с луча CA на луч CB в плоскости R при $R \rightarrow 0$ и соответствующем переходе в плоскости Z . Тогда $a = -j\ell/\pi$.

В таком случае конфигурация магнитного поля в рабочей зоне полюсного наконечника в комплексной плоскости $Z=X+jY$ будет иметь вид, изображенный на рис. 1.

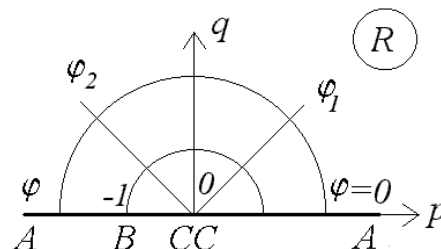


Рис. 2

$$Z = a \int_{-1}^R \frac{\sqrt[4]{R+1}}{R} dR + b. \quad (1)$$

Интеграл (1) содержит иррациональную функцию. Его решение возможно с использованием теоремы Чебышева [2] об интегрировании биномиальных дифференциалов.

Решение интеграла (1) имеет вид:

Преобразование поля верхней полуплоскости R в плоскопараллельное поле комплексной плоскости W осуществляется при помощи известной функции [3]: $R = e^{\pi W/\varphi}$, где $W = U + jV$, а φ – скалярный магнитный потенциал.

Переходя к относительным значениям $Z = Z/\ell$ и $W = W/\varphi$, имеем:

$$Z = -\frac{j}{\pi} \left(\begin{array}{l} 4\sqrt[4]{e^{\pi W} + 1} - \frac{1}{\sqrt{2}} \ln \frac{1 + \sqrt{e^{\pi W} + 1} + \sqrt{2}\sqrt[4]{e^{\pi W} + 1}}{1 + \sqrt{e^{\pi W} + 1} - \sqrt{2}\sqrt[4]{e^{\pi W} + 1}} \\ -\sqrt{2} \operatorname{arctg} \frac{\sqrt{2}\sqrt[4]{e^{\pi W} + 1}}{1 - \sqrt{e^{\pi W} + 1}} \end{array} \right) + b. \quad (3)$$

$$k_2 = k - 2\sqrt{2}\sqrt[4]{k} \cos \frac{\alpha(\sqrt{k} + 1)}{4} +$$

Уравнения функций комплексного переменного [3]: $\ln S = \ln |S| + j \arg(S)$ и $\operatorname{arctg} S = -\frac{j}{2} \ln \frac{j-S}{j+S}$ позволяют проанализировать выражение (3).

Преобразуя $e^{\pi W}$ к виду $ke^{j\alpha}$, где

$$k = \sqrt{e^{2\pi U} + 2e^{\pi U} + 1}, \quad (4)$$

$$\alpha = \operatorname{arctg} \frac{e^{\pi U} \sin \pi V}{e^{\pi U} \sin \pi V + 1}, \quad (5)$$

получаем

$$k_1 = k + 2\sqrt{2}\sqrt[4]{k} \cos \frac{\alpha(\sqrt{k} + 1)}{4} + 2\sqrt{k} \left(1 + \cos \frac{\alpha}{2} \right) + 1, \quad (6)$$

$$\beta = \operatorname{arctg} \frac{\sqrt{2}\sqrt[4]{k} \sin \frac{\alpha}{4} + \sqrt{k} \sin \frac{\alpha}{2}}{\sqrt{2}\sqrt[4]{k} \cos \frac{\alpha}{4} + \sqrt{k} \cos \frac{\alpha}{2} + 1}, \quad (7)$$

$$m = \frac{1}{2} \sqrt{\frac{k_4^2(\sin 2\alpha_4 + 1) - 2k_4(\sin \alpha_4 + \cos \alpha_4) + 1}{k_4^2(\sin 2\alpha_4 + 1) + 2k_4(\sin \alpha_4 + \cos \alpha_4) + 1}}, \quad (14)$$

$$\delta = \operatorname{arctg} \frac{k_4 \sin \alpha_4 - 1}{k_4 \cos \alpha_4} - \operatorname{arctg} \frac{k_4 \sin \alpha_4 + 1}{k_4 \cos \alpha_4} - \frac{\pi}{2}. \quad (15)$$

Тогда с учетом уравнений (6)...(15) имеем возможность записать выражение, связывающее координаты исходного кри-

волинейного поля $Z = X + jY$ с координатами плоскопараллельного поля $W = U + jV$:

$$X = \frac{1}{\pi} \left(4\sqrt[4]{k} \sin \frac{\alpha}{4} - \frac{\beta - \gamma}{\sqrt{2}} - \sqrt{2}m \sin \delta \right), \quad (16)$$

$$Y = -\frac{1}{\pi} \left(4\sqrt[4]{k} \cos \frac{\alpha}{4} - \frac{1}{\sqrt{2}} \ln \left| \frac{\beta}{\gamma} \right| - \sqrt{2}m \cos \delta \right). \quad (17)$$

Напряженность поля $H = H e^{j\varphi^H}$ определяется выражением [4]:

$$H = \frac{e^{j3\alpha}}{n}, \quad (18)$$

откуда

$$H = \frac{1}{\sqrt[8]{(e^{2\pi U} + 2e^{\pi U} + 1)^3}}, \quad (19)$$

$$\varphi^H = \frac{3}{4} \operatorname{arctg} \frac{e^{\pi U} \sin \pi V}{e^{\pi U} \cos \pi V + 1}. \quad (20)$$

ВЫВОДЫ

Исследовано стационарное поле реальной конфигурации полюсного наконечника устройства обнаружения металлических частиц в текстильных полотнах и валах отделочного оборудования, в результате

чего получены уравнения, связывающие координаты криволинейного рабочего поля, модуль и направление вектора напряженности с координатами плоскопараллельного поля.

ЛИТЕРАТУРА

1. *Расторгуев А.К., Любимцев В.В.* Теоретические основы расчета элементов текстильной автоматики: Учебное пособие. – Иваново: ИХТИ, 1985.
2. *Бронштейн И.Н., Семендяев К.А.* Справочник по математике для инженеров и учащихся втузов. – М.: Наука, 1986.
3. *Лаврентьев М.А., Шабат Б.В.* Методы теории функций комплексного переменного. – М.: Наука, 1973.
4. *Любимцев С.В.* // Изв. вузов. Технология текстильной промышленности. – 2005, №3. С.114...116.

Рекомендована кафедрой прикладной математики и информационных технологий. Поступила 22.11.05.